

С.А. Курносов

## КИНЕМАТИЧЕСКИЕ И ДИНАМИЧЕСКИЕ ХАРАКТЕРИСТИКИ ВИБРАТОРА С ДИСБАЛАНСОМ

Интенсификация процессов разупрочнения и разрушения горных пород связана с созданием условий снижения контактной прочности в системе породоразрушающий инструмент – горная порода, а следовательно и уменьшения величины сопротивления разрушению.

Одним из эффективных способов снижения контактной прочности при разрушении горных пород является их виброобработка акустическими упругими волнами [1].

Анализ характеристик виброакустических генераторов показал, что к наиболее перспективным генераторам (с позиций создания в широком диапазоне частот и амплитуд акустических волн) можно отнести вибратор с дисбалансом. Несмотря на широкое применение данного генератора для обработки массива в настоящее время исследования по определению его режимных характеристик слабо отражены в литературе и особенно в плане установления условий резонанса при взаимодействии вибратора с упруго-пластичной средой.

**Установление кинематических и динамических характеристик вибратора** (а именно,  $\varphi$ ,  $\dot{\varphi}$ ,  $\ddot{\varphi}$ ,  $\varepsilon$ ,  $a$ ,  $V_i$ , соответственно – угла поворота, угловой скорости, углового и линейного ускорений и линейной скорости как функции времени) связано в первую очередь с определением класса смешанных колебаний: взаимодействие вынужденных колебаний и параметрических колебаний, взаимодействие вынужденных колебаний и автоколебаний, взаимодействие параметрических колебаний и автоколебаний и, наконец, взаимодействие вынужденных колебаний, параметрических и автоколебаний [2]. На практике, установление класса колебаний неразрывно связано с определением степени неидеального источника энергии, определяемой известным физическим эффектом Зоммерфельда, а следовательно и с определением вида резонансной характеристики вибратора [3].

Кроме того, установление кинематических и динамических параметров вибратора с дисбалансом тесным образом связано с динамикой распространения волн внутри колеблющегося стержня вибратора и особенно на границе

вибратор-среда, определяющей глубину и интенсивность распространения волн в массив.

Нелинейная задача определения крутильных колебаний упругого стержня механического вибратора с дисбалансом решалась методом Бубнова-Галеркина [4].

При этом предполагалось, что механический вибратор представляет собой вал, одним концом опирающийся на твердую упругую среду и несущий на другом конце массу (дисбаланс), вращающуюся под действием силы  $F_{(t)}$  с моментом инерции  $I_z$  (где  $z$  – ось симметрии вала) и заставляющую вал совершать крутильные колебания вокруг оси  $z$  на величину углового смещения  $\varphi_{(t)}$ .

В работе [5] показано, что мгновенные удары силы  $F_{(t)}$ , прикладываемые бегунком к оси вибратора можно представить в виде  $F_{(t)} = S \delta(t - t_0)$ , где  $S$  – мгновенный импульс  $S = \int_0^t F(t) dt$ ,  $\delta$  – дельта функции Дирака.

При обхватывании вала бегунком мгновенно приложенная сила имела максимум в каждой точке линии контакта цилиндра и дисбаланса (и определялась в соответствии с законом  $F_0 \sin \omega t$ ).

При отсутствии углового ускорения величина силы, действующая на ось вибратора, находилась из выражения [6]

$$F = \frac{12\pi\nu R^3 m}{S_1 \varepsilon^3 (2 + \lambda^2 \sqrt{1 - \lambda^2})} [\bar{\omega} \times \bar{r}] \quad (1)$$

Отсюда видно, что сила направлена перпендикулярно плоскости расположения векторов  $\bar{\omega}$  и  $\bar{r}$  и зависит от  $\nu$ ,  $R$ ,  $\varepsilon$ ,  $\lambda$  (где  $\nu$  – кинематический коэффициент вязкости смазки,  $R$  – радиус вала,  $\varepsilon = (R' - R)$  – разность радиусов бегунка и вала,  $\lambda = \varepsilon / r$ ,  $r$  – величина эксцентриситета,  $m$  – масса бегунка,  $S_1$  – площадь сечения вала). Наибольшая величина возмущающего момента была равна  $M_0$ . Кроме того с валом был связан демпфер (частично поглотитель энергии волн крутильных колебаний). Определение кинетических характеристик,  $\varphi$ ,  $\dot{\varphi}$ ,  $\ddot{\varphi}$ ,  $\varepsilon$ ,  $a$ ,  $V_i$  – ограничивалось нахождением основной характеристики колебаний  $\varphi_0$  – максимального углового смещения.

Найденное уравнение крутильных колебаний методом поэтапного интегрирования имело вид:

$$\varphi_0 = -\frac{\sigma p}{(q-p)} \frac{1}{\cos\left(\sqrt{\frac{q}{p}}\omega r\right)} \left[ \sin\beta \sqrt{\frac{p}{q}} \sin\left(\sqrt{\frac{q}{p}}\omega r\right) \cdot \cos\omega(\tau + \beta) + \sin\omega(t + \beta) \right], \quad (2)$$

где  $\sigma = m_0/\omega^2$  – постоянный коэффициент,  $m_0 = M_0/I_1$ ,  $P = \omega^2/K_2^2$ ,  $K_2^2 = C_2/I_2$ ,

$C_2$  – жесткость демпфера,  $q = K_1^2/K_2^2 = C_1/C_2$  – отношение жесткости вала к жесткости демпфера,  $\beta$  – время, характеризующее опережение по фазе действующих моментов сил сопротивления от возмущающих моментов.

Величина максимального углового смещения, найденная из решения нелинейной задачи крутильных колебаний вала вибратора с дисбалансом имела вид:

$$\varphi_0 = \frac{\pi m_0}{\sqrt{K_1^2 - K_2^2} + \pi^2(K^2 - \omega^2)} \sin \left[ \omega t - \arctg \left( \frac{1}{\pi} \frac{K_1^2 - K_2^2}{K^2 - \omega^2} \right) \right], \quad (3)$$

где  $K^2 = \frac{1}{2}(K_1^2 - K_2^2)$ .

При сравнении двух решений видно, что при отсутствии момента сопротивления, когда «треугольная характеристика» вырождается в линейную с коэффициентом жесткости системы равной  $C$ , т.е. при  $K_1^2 = K_2^2$  уравнения (1) и (3) принимают обычный вид для соответствующей линейной задачи:

$$\varphi_0 = \frac{m_0}{K^2 - \omega^2} \sin \omega t.$$

Однако в условиях нелинейной возвращающей силы, такой резонанс, как в линейной задаче, не существует.

Если система имеет «жесткую» характеристику, то собственная частота увеличивается с ростом амплитуды с наклоном вправо (относительно пика резонансной кривой идеальной системы), тем больше, чем больше степень нелинейности. В случае, если система имеет «мягкую» характеристику, то амплитуда резонанса растет с наклоном влево. Такие системы называются системами с насыщением. Обычно это системы с нелинейными упругими связями, которые можно представить в виде функции перемещения  $f(x)$ , где  $x$  – перемещение системы. Условие насыщения системы является  $\lim d[f(x)/dx] = 0$  при  $x \rightarrow x_0$ , т.е. кривая насыщения имеет ярко выраженную

ные асимптоты, в случае, если предел не равен нулю, то систему называют с условным насыщением. При этом для «жесткой» характеристики системы проекция силы упругости будет равна  $F_x = -C_1x - C_3x^3$ , а для «мягкой»

$$F_x = -C_1x + C_3x^3.$$

Анализ формулы (2) показывает, что при увеличении  $q$  (т.е. увеличении жесткости вала вибратора) амплитуда  $\varphi_0$  убывает, а в случае  $p = q$  амплитуда неограниченно возрастает и  $(\sigma \cdot p/q - p) \rightarrow \infty$ . По мере увеличения момента сил сопротивления, т.е. при  $q > 1$ , наибольшая амплитуда колебаний имеет место не при  $\omega/K = 1$ , а смещается в сторону увеличения  $\omega/K$  (жесткая характеристика) или смещается в сторону уменьшения  $\omega/K$  (мягкая характеристика).

Экспериментальные исследования характеристик вибратора с дисбалансом (как с жесткими, так и с мягкими характеристиками) показали, что для случая с большим сопротивлением  $q \approx 3$ , резонанс наблюдался при повороте системы на угол, кратный  $n\pi\omega \approx 77^\circ$  (где  $n = 1,2,3$ ). При малых значениях момента силы сопротивления, т.е. при  $1 < q < 1,25$  угол наибольшего отклонения  $n\pi\omega$  лежал при резонансе в пределах  $88^\circ < n\pi\omega < 90^\circ$ , что в пределах ошибки совпадало с оценками, произведенными по формулам (2) и (3).

Таким образом, теоретические и экспериментальные исследования кинематических и динамических характеристик вибратора с дисбалансом показали, что для достижения в системе резонанса при обработке пласта необходимо учитывать характеристики не только самого вибратора, но и непосредственно связывать их с характеристиками системы вибратор-среда, т.е. учитывать свойства горных пород, в соответствии с принципом Зоммерфильда для неидеальных источников колебаний.

## СПИСОК ЛИТЕРАТУРЫ

1. Механика управления гетерогенным, упруго-наследственным горным массивом / А.Н. Зорин, Н.Н. Долинина, В.Г. Колесников. - Киев: Наук. думка, 1980. - 288 с.
2. Алифов А.А., Фролов К.В. Взаимодействие нелинейных колебательных систем с источником энергии. - М.: Наука, 1985. - 328 с.

3. Кононенко В.О. Колебательные системы с ограниченным возбуждением. - М.: Наука, 1964. - 254 с.
4. Андропов А.А., Витт А.А., Хайкин С.Э. Теория колебаний. - М.: Физматгиз, 1959. - 356 с.
5. Пановко Я.Г. Введение в теорию механического удара. - М.: Наука, 1977. - 224 с.
6. Лурье А.И. Аналитическая механика. - М.: Изд. Физ.-мат. лит., 1961. - 281 с.

**УДК 622.063.42:622.83**

А.О. Кравцов

### ГЕОМЕХАНИЧЕСКОЕ ОБЕСПЕЧЕНИЕ СТАБИЛЬНЫХ ПОКАЗАТЕЛЕЙ РАБОТЫ ДОБЫЧНОГО УЧАСТКА

Анализ деятельности угледобывающих предприятий Центрального района Донбасса показывает, что их рентабельность по объемам добычи и себестоимости продукции в большей мере зависит от стабильной работы добывчных участков. Стабильность показателей добычи угля в свою очередь зависит от надежности проведения вспомогательных работ в первую очередь от

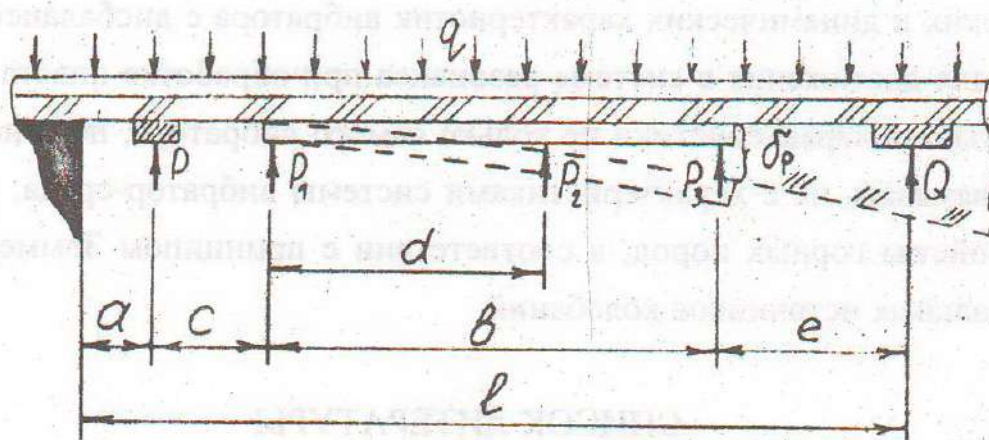


Рисунок 1 – Общая схема отпора крепления